

文章编号:1001-9014(2012)02-0132-05

湖泊藻类水体浮游植物色素遥感反演模型

金经纬¹, 段洪涛^{2*}, 赵晨露^{2,3}, 周琳^{2,3}, 尚琳琳^{2,3}, 姜广甲^{2,3}

(1. 同济大学 环境科学与工程学院, 上海 200092;

2. 中国科学院南京地理与湖泊研究所 湖泊与环境国家重点实验室, 江苏 南京 210008;

3. 中国科学院研究生院, 北京 100039)

摘要:2009年10月15~16日,在巢湖蓝藻暴发期间进行实际采样和数据分析,通过Gons和Simis算法对浮游植物色素吸收及其浓度遥感反演进行了研究。结果表明,Gons和Simis算法可以用于蓝藻水华未覆盖水体的遥感反演,而在水华覆盖水体表面时算法失效;在未覆盖水体时,Gons算法($RMSE = 0.04 \text{ m}^{-1}$)相对于Simis算法($RMSE = 0.13 \text{ m}^{-1}$)可以更好地反演浮游植物色素吸收;Simis算法可以用于巢湖藻蓝素反演,但模型参数需要重新率定。总体来说,Gons和Simis算法在巢湖取得了较好的结果,有助于浮游植物色素遥感反演后续工作的进行。

关键词:叶绿素;藻蓝素;色素吸收;生物光学模型

中图分类号:X122 文献标识码:A

Remote estimation of phytoplankton pigments in inland lake waters with algae

JIN Jing-Wei¹, DUAN Hong-Tao^{2*}, ZHAO Chen-Lu^{2,3}, ZHOU Lin^{2,3}, SHANG Lin-Lin^{2,3}, JIANG Guang-Jia^{2,3}

(1. College of Environmental Science and Engineering, Tongji University, Shanghai 200092, China;

2. State key Laboratory of Lake Science and Environment, Nanjing Institute of Geography and Limnology, CAS, Nanjing 210008, China;

3. Graduate School of Chinese Academy of Sciences, Beijing 100039, China)

Abstract: Based on in situ data in Chao Lake from October 15th 2009 to October 16th 2009, two algorithms named Gons and Simis were used to estimate phytoplankton pigment (Chlorophyll-a, Chla; Phycocyanin, PC). Results showed that both Gons and Simis algorithms can be used in waters with algae, but not in waters while algal blooms formed. For the pigment absorption at 665 nm ($a_{ph}(665)$), Gons can provide a better result than Simis. Simis algorithm can be used to estimate PC, while related parameters were re-calibrated. Therefore, it is necessary and significant to validate and develop the algorithms to estimate Chla and PC in Chao Lake.

Key words: chlorophyll; phycocyanin; pigments absorption; bio-optical algorithm

PACS: 07.07. Df

引言

据最新遥感调查结果(2005~2006年)显示,我国 1 km^2 以上自然湖泊有2693个^[1]。随着经济的快速发展,湖泊富营养化日益严重。富营养水体的重要特征就是藻类物质,特别是蓝藻大量繁殖^[2]。浮游植物色素(叶绿素a和藻蓝素)遥感反演模型研究

对于富营养化湖泊水质监测和蓝藻水华预测预警都具有重要意义。Gons提出以反演665 nm处浮游植物色素吸收为基础的叶绿素a浓度反演算法,得到广泛应用^[3,4]。由于叶绿素a存在于所有真核藻类中,而可以证明蓝藻存在的指示性色素——藻蓝素,在以往的研究中较少涉及。Simis等利用藻蓝素在620 nm附近具有独特的吸收峰,在Gons算法的基

收稿日期:2010-12-21,修回日期:2011-06-24

基金项目:中国科学院知识创新工程方向性项目(KZCX2-EW-QN308, KZCX2-YW-QN311);国家自然科学基金(41171271, 41171273)

Foudantion items: Supported by the Knowledge Innovation Program of the Chinese Academy of Sciences (KZCX2-EW-QN308, KZCX2-YW-QN311) and National Natural Science Foundation of China (41171271, 41171273)

作者简介:金经纬(1988-),男,浙江人,主要从事环境监测研究。E-mail:jin-jingwei@163.com.

* 通讯作者:E-mail: htduan@niglas.ac.cn.

Received date: 2010-12-21, revised date: 2011-06-24

Received date: 2010-12-21, revised date: 2011-06-24

础上,提出了藻蓝素的遥感反演算法^[5].以我国五大淡水湖之一的巢湖为研究对象,针对 MERIS 传感器波段设置,基于 Gons 和 Simis 算法,评价主要浮游植物色素-叶绿素和藻蓝素的遥感反演精度,并尝试在实测数据的基础上,对 Gons 和 Simis 算法相关参数进行重新率定,建立适合巢湖水体的叶绿素和巢湖遥感反演模型.这对于富营养化水体浮游植物色素遥感定量反演以及 MERIS 数据的应用具有重要科学意义.

1 数据与方法

1.1 研究区

巢湖位于长江、淮河两大河流之间($117^{\circ}16'54'' \sim 117^{\circ}51'46''E$, $31^{\circ}25'16'' \sim 31^{\circ}43'28''N$),多年平均水位为 8 m,库容 $2.1 \times 10^9 m^3$,岸线总长 184.66 km,面积 769.55 km²,平均水深 2.89 m,最深处达 3.67 m.近年来,由于周边经济的快速发展,巢湖水体呈现明显的富营养化趋势,蓝藻水华泛滥成灾,特别是西部湖区由于靠近城市污水排放口,尤为严重.

1.2 数据描述

2009 年 10 月 15 ~ 16 日,在巢湖进行了实际采样,获得有效样点 37 个,如表 1 所示,其中 ASD 光谱测量采用水表面以上测量法.各物质的吸收测量采用定量滤膜法,利用分光光度计测定滤膜上总颗粒物吸收系数 a_p ,然后将滤膜漂白后测定非色素颗粒物的吸收系数 a_d ,浮游植物色素吸收系数 a_{ph} 为 a_p 减 a_d 的差值.叶绿素 a 经丙酮萃取后用分光光度法测定浓度,悬浮物浓度的测量采用称重法.

1.3 算法描述

Gordon 等人在 1998 年提出了水色遥感的基本辐射传输方程^[6],

$$R_{rs} = \frac{ft}{Qn^2} \frac{b_b}{a + b_b}, \quad (1)$$

其中总吸收系数 $a(\lambda)$ 主要由浮游植物色素吸收 (a_{ph})、非色素颗粒物吸收 (a_d)、黄色物质吸收 (a_g) 和纯水吸收 (a_w) 组成; b_b 是水体的总后向散射系数;

f/Q ,是太阳方位角函数,一般认为等于 0.0945^[6],而 t/n^2 代表水体界面常数,约等于 0.54^[7].大多数研究认为, b_b 在近红外波段近似相等,因此,由式(1)可得

$$a(\lambda_1) = \frac{R_{rs}(\lambda_2)}{R_{rs}(\lambda_1)} \times [a(\lambda_2) + b_b] - b_b, \quad (2)$$

其中 λ_1 在反演叶绿素时对应 665 nm 波段,藻蓝素时对应 620 nm;而 λ_2 一直对应着 705 nm.

Gons 根据式(2),提出了针对叶绿素 a 的遥感反演算法^[8].该方法适用于 MERIS 的波段设置,基本方程为

$$b_b(778.75) = 1.61 \times \frac{R_{rs}(778.75)}{0.082 - 0.6 \times R_{rs}(778.75)}, \quad (3)$$

$$a_{ph}(665) = \frac{R_{rs}(709)}{R_{rs}(665)} \times (a_w(709) + b_b) - b_b^p - a_w(665), \quad (4)$$

$$[Chla] = \frac{a_{ph}(665)}{a_{ph}^*(665)}, \quad (5)$$

其中, b_b 为后向散射系数, R_{rs} 为遥感反射比, a_{ph} 为浮游植物色素吸收系数, a_w 为纯水的吸收系数, a_{ph}^* 为浮游植物色素的比吸收系数, $[Chla]$ 为叶绿素 a 的浓度, p 为修正因子,在 1.06 左右,可以减小假定后向散射为常数所引起的误差^[8].纯水在 709 nm ($a_w(709)$) 和 665 nm ($a_w(665)$) 的吸收系数分别为 $0.70 m^{-1}$ 和 $0.40 m^{-1}$.对于中等滋育度及富营养水体,浮游植物色素在 665 nm 的比吸收系数经验值为 $0.016 m^{-1}/(\mu g/L)$.

该算法基于以下假设:后向散射 b_b 不随波长变化,并可由近红外附近的单波段(这一波段的吸收可以由纯水的吸收近似)获取; $a(709) \approx a_w(709)$; $a(665) \approx a_{ph}(665) + a_w(665)$, 即忽略了 CDOM 和非藻类颗粒物的吸收; 浮游植物色素比吸收系数在指定波长处是一个常数.

Simis 在 Gons 算法的基础上,针对藻蓝素在 620 nm 附近具有吸收峰的特性,提出了藻蓝素的遥感反演算法^[5].基本方程为

表 1 巢湖水体相关参数

Table 1 Statistics of water quality parameters of Chaohu lake

	所有(n=37)			正常(n=17)			异常(n=19)			正常(n=21)			异常(n=15)		
	Min	Max	Ave	Min	Max	Ave	Min	Max	Ave	Min	Max	Ave	Min	Max	Ave
	Chla (g/l)	6.43	2343.60	288.49	6.43	62.11	23.63	8.84	2343.60	525.47	6.43	62.11	22.06	18.17	2343.60
TSS (mg/l)	12.50	295.00	69.88	0.15	6.18	1.82	0.27	342.25	51.81	0.15	6.18	1.85	0.52	342.25	65.10
$a_{ph}(620) (m^{-1})$	0.10	11.24	1.68	12.50	49.33	25.64	15.00	295.00	109.46	12.50	49.33	25.76	22.50	295.00	131.64
$a_{ph}(665) (m^{-1})$	0.13	21.64	3.50	2.50	19.00	10.90	6.50	265.00	79.52	2.50	19.00	10.91	7.00	265.00	97.80

$$\left\{ \begin{array}{l} a_{ph}(665) = \left[\frac{R_{rs}(709)}{R_{rs}(665)} \times (a_w(709) + b_b) - b_b - a_w(665) \right] \times \gamma^{-1}, \\ a_{ph}(620) = \left[\frac{R_{rs}(709)}{R_{rs}(620)} \times (a_w(709) + b_b) - b_b - a_w(620) \right] \times \delta^{-1}, \end{array} \right. \quad (6)$$

$$\left\{ \begin{array}{l} a_{pc}(620) = a_{ph}(665) - \varepsilon \times a_{ph}(620), \\ [PC] = \frac{a_{pc}(620)}{a_{pc}^*(620)} \end{array} \right. \quad , \quad (8)$$

$$\left\{ \begin{array}{l} [PC] = \frac{a_{pc}(620)}{a_{pc}^*(620)} \end{array} \right. \quad , \quad (9)$$

其中, a_{pc} 为藻蓝素吸收系数, a_{pc}^* 为藻蓝素的比吸收系数, $[PC]$ 代表藻蓝素浓度. 修正因子 $\gamma = 0.68$, 表示引入修正因子前浮游植物色素在 665 nm 的估计值与测量值的比. 类似地, $\delta = 0.84$, 表示引入修正因子前藻蓝素在 620 nm 的估计值与测量值的比. 转换系数 $\varepsilon = 0.24$, 表示叶绿素 a 在 620 nm 和 665 nm 的吸收之比. 另外, b_b 的计算同式(3).

1.4 数据分析

Gons 和 Simis 算法的一个重要前提是式(2)和式(3)成立, 而由于部分样点形成蓝藻水华, 漂浮在水体表面, 导致 778.75 nm 所在的近红外波段显著升高, 因此 $b_b(778.75)$ 计算数值产生较大偏差, b_b 在近红外波段也不再相等, 将会引起反演结果较大的错误. 图 1 是 $a_{ph}(665)$ 实测值与 Gons 和 Simis 算法反演值的比值, 可以发现前半部分样点(1~18)模型反演结果较为准确, 19 号样点后的大部分样点反演结果有较大偏差, 而这些样点正是位于西部湖区, 蓝藻水华最为严重的区域. 因此, 为了确保模型的适用性, 有必要对采集样点进行分类. 按照 50% 的误差是可以接收的标准, 根据图 1 结果将所有样点分为两类: 比值大于 1.5 或者小于 0.5 的被认为是异常点(水华覆盖表面), 而小于 1.5 大于 0.5 的则为正常样点(藻颗粒水体, 未形成水华). 另外, 由于 19 号样点明显与所有样点差别太大(图 1), 视为特殊点删除, 没有包含在分析中.

2 结果与讨论

2.1 $a_{ph}(665)$ 和叶绿素 a 浓度反演

按照 $\pm 50\%$ 的误差对 Gons 反演结果进行了分类, 如图 2(a)所示. 由图 2(a)可知, 正常样点值基本上分布在 1:1 线附近, 具有较高的相关性; 而这些样点的叶绿素 a、总悬浮物等参数都相对偏低(表 1), 藻含量较少, 还没有形成水华覆盖水体表面, 与湖上野外试验观测到的结果基本一致. 而异常点反演结果与实测结果普遍偏差较远, 绝大部分样点 $a_{ph}(665)$ 值被低估, 主要是由于这部分样点多数有蓝藻水华覆盖, 近红外波段形成类似植被的“陡坡”, 部分样

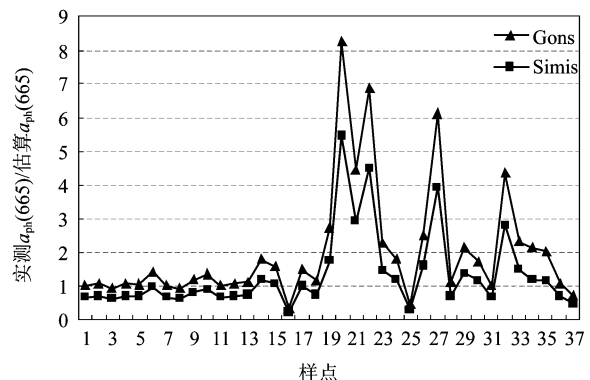


图 1 巢湖实测 $a_{ph}(665)$ 和不同算法提取的 $a_{ph}(665)$ 比值
Fig. 1 Ratios of $a_{ph}(665)$ in situ to $a_{ph}(665)$ derived from two algorithms

点叶绿素浓度达到 $2000 \mu\text{g/L}$ 以上, 平均值 $500 \mu\text{g/L}$ 以上(表 1), 导致基于水体辐射传输方程构建的反演模型失效, 不再适用. 同理, 对 Simis 反演结果也进行了相应的分类, 结果与 Gons 算法类似, 只是误差在 $\pm 50\%$ 的正常样点多了 4 个, 见图 3.

不管是 Gons 算法, 还是 Simis 算法, 浮游植物色素浓度的遥感反演都是先通过计算特征波长吸收(叶绿素 a:665; 藻蓝素:620), 再比上相应色素的比吸收系数, 最终获得叶绿素 a 或者藻蓝素的浓度. 实验室实测数据中 $a_{ph}(665)$ 一般认为全部是叶绿素的吸收造成, 其它色素吸收影响可以忽略不计; 而在算法(式(2))反演中, 665 nm 波长吸收 $a(665)$ 实际上还有 a_g 和 a_d 等的吸收, 因此做了一定的校正. 式(4)和式(6)分别是 Gons 和 Simis 算法 $a_{ph}(665)$ 的计算公式, 有一定差别. Gons 算法做的校正是利用 p 值, Simis 利用了 γ 值. 由于采用的校正方式的差异, 导致 $a_{ph}(665)$ 反演结果的不同. 针对巢湖数据, 选用 Gons 和 Simis 算法中都正常的样点($n = 16$), 比较两个算法的精度, 发现两个算法与实测数据都有很好的线性关系($R^2 = 0.93$), 但显然 Gons 算法更为准确; Simis 算法 RMSE 是 0.13 m^{-1} , Gons 算法只有 0.04 m^{-1} . 导致两者算法差异的主要原因可能是:(1) Gons 算法是利用指数 p 进行校正, 对于基本算法中(式(2))关于水体 b_b 在近红外波段基本一致的假设进行了有效修正, 而 b_b 在 $a_{ph}(\lambda)$ 的反演中具有较大作用^[4]; Simis 算法是利用 $a_{ph}(665)$ 实测吸收值和基本算法(式(2))反演结果进行了线性回归, 利用方程斜率 γ 做了一定校正, 但没有考虑 b_b 在 665 nm 和 705 nm 的不一致可能造成的误差.(2)更为重要的原因是巢湖数据与 Simis 和 Gons 算法的实验数据有一点差别, 而这两个算法中 p 和 γ 都是通过

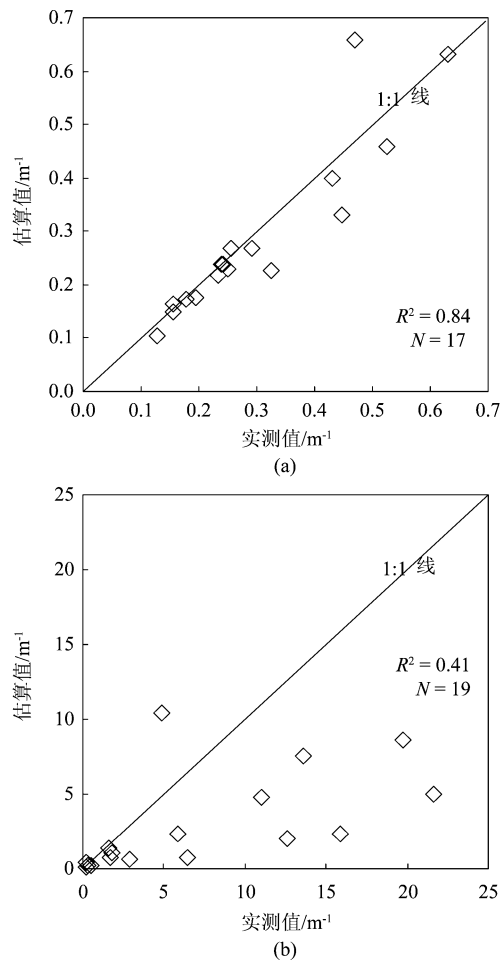


图2 $a_{ph}(665)$ 实测值与 Gons 算法估算值散点图 (a) 正常点
(b) 异常点

Fig. 2 Scatter plots of $a_{ph}(665)$ in situ versus $a_{ph}(665)$ derived from Gons algorithms (a) normal sites (b) abnormal sites

实测数据模拟获得的。因此,在这里选择 Gons 算法用于 $a_{ph}(665)$ 以及叶绿素 a 的反演,精度相对较高。

叶绿素 a 浓度的反演由式(5)计算获得,该式假设叶绿素在 665 nm 的比吸收系数($a_{ph}^*(665)$)不变。但在许多研究中发现 $a_{ph}^*(665)$ 由于受叶绿素打包效应等影响,其值有较大的变化。巢湖 $a_{ph}^*(665)$ 变化范围在 $0.0070 \sim 0.0197 \text{ m}^{-1}/(\mu\text{g/L})$ 之间,平均值为 $0.0134 \text{ m}^{-1}/(\mu\text{g/L})$;与 Gons 算法使用的 $0.0161 \text{ m}^{-1}/(\mu\text{g/L})$ 有一定差别,会造成叶绿素 a 反演精度的降低($R^2 = 0.59$, RMSE = $11.14 \mu\text{g/L}$),见图 4。由图 4 可知,通过采用每一个样点的实际比吸收系数,叶绿素 a 浓度反演精度大幅提高($R^2 = 0.96$, RMSE = $3.65 \mu\text{g/L}$)。

2.2 $a_{ph}(620)$ 和藻蓝素浓度遥感反演

藻蓝素浓度的反演主要通过计算 620 nm 处的藻蓝素吸收系数($a_{pc}(620)$),再除以藻蓝素比吸收

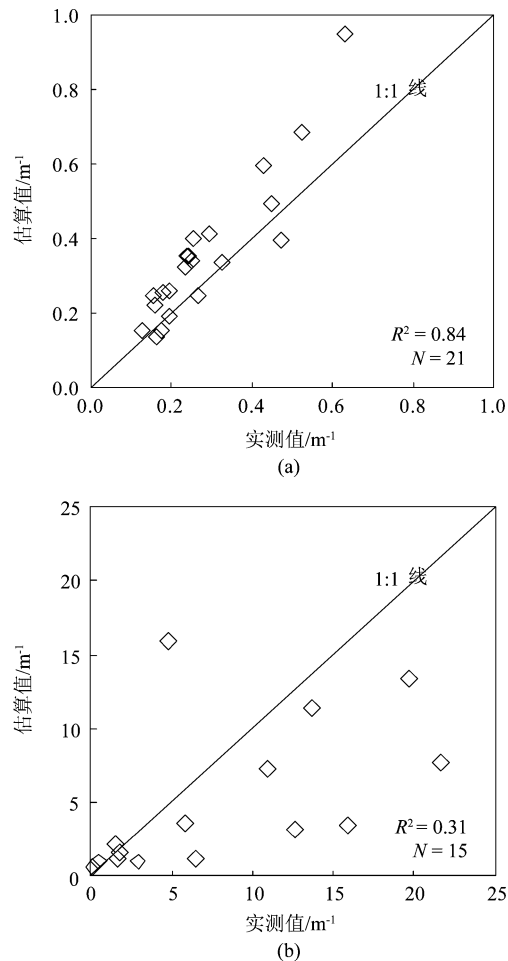


图3 $a_{ph}(665)$ 实测值与 Simis 算法估算值散点图 (a) 正常点
(b) 异常点

Fig. 3 Scatter plots of $a_{ph}(665)$ in situ versus $a_{ph}(665)$ derived from Simis algorithms (a) normal sites (b) abnormal sites

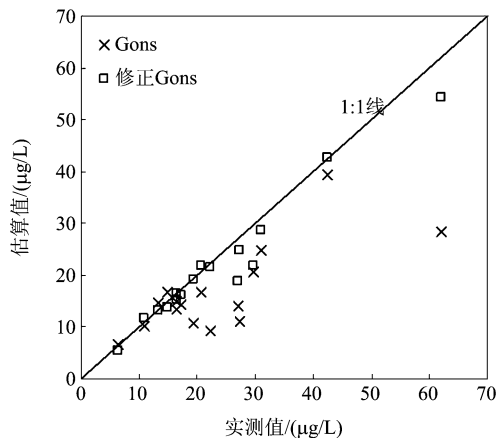


图4 叶绿素 a 浓度遥感反演结果

Fig. 4 Scatter plots of Chl a in situ data versus estimated data derived from different algorithms

系数($a_{pc}^*(620)$)获得;但不同于 Gons 算法,藻蓝素反演要先获得 620 nm 处的浮游植物色素总吸收

($a_{ph}(620)$).因此, $a_{ph}(620)$ 反演的准确与否是获得真实藻蓝素浓度的关键因素.数据表明, $a_{ph}(620)$ 实测值和 Simis 反演值两者关系比较理想 ($R^2 = 0.88$),但还存在一定误差,部分样点估值较高.

由于 Simis 算法中 $a_{ph}(665)$ 和 $a_{ph}(620)$ 的反演结果都与实际结果有一定的差异,为了更准确地获得相应参数,有必要利用巢湖实测数据对 γ 和 δ 进行率定,获得适用于巢湖水体的浮游植物色素吸收反演算法,结果如图 5(a)所示. 巢湖 γ 和 δ 与 Simis 算法都有一定差异, γ 由原来的 0.68 调整为 0.915, δ 由原来的 0.84 调整为 1.0979. 利用校正参数重新计算 $a_{ph}(\lambda)$, $a_{ph}(665)$ 的 RMSE 由原来的 0.13 m^{-1} 下降为现在的 0.04 m^{-1} ;而 $a_{ph}(620)$ 的 RMSE 由 0.05 m^{-1} 下降为现在的 0.04 m^{-1} ,见图 5(b). 参数 ε 的构建需要利用实测藻蓝素数据进行最小二乘法线性拟合,本次实验没有测量藻蓝素,因此没有进行

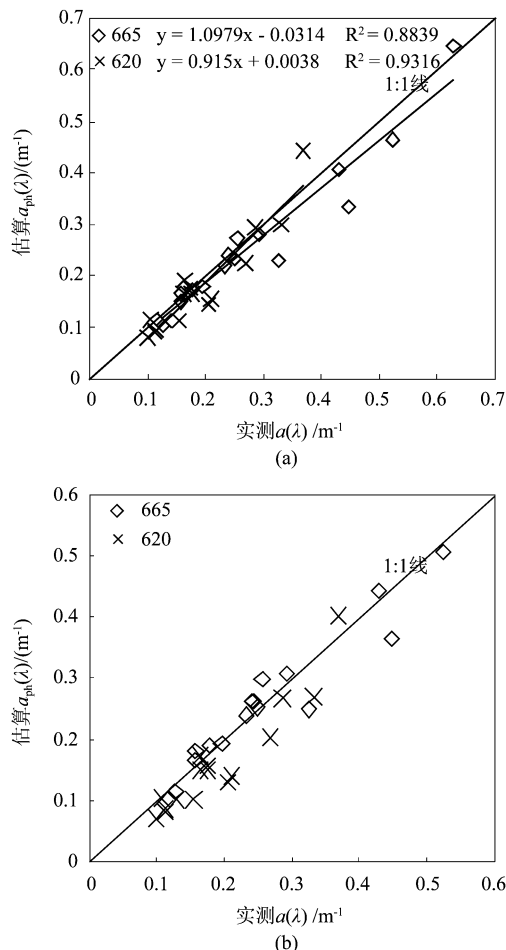


图 5 巢湖水体的 Simis 算法 (a) γ 和 δ 参数校正,(b) $a_{ph}(\lambda)$ 校正

Fig. 5 Simis algorithm in Chao lake (a) γ and δ calibration, (b) $a_{ph}(\lambda)$ calibration

校正;同时巢湖藻蓝素比吸收系数由于相同原因,也没有校正,都采用了 Simis 算法中已有的参数. 经过参数校正后,藻蓝素浓度普遍有一定下降,在 $5.75 \sim 33.53 \mu\text{g/L}$ 之间,均值为 $13.08 \mu\text{g/L}$.

3 结论

利用 Gons 和 Simis 算法对巢湖浮游植物色素吸收及其浓度进行了研究. 在蓝藻水华覆盖水面的情况下,Gons 和 Simis 算法将会失效;在未覆盖表面时,Gons 和 Simis 算法可以用于叶绿素和藻蓝素的反演;Gons 算法相对于 Simis 算法可以更有效地反演 $a_{ph}(665)$,但在反演叶绿素过程中,由于巢湖水体叶绿素比吸收系数 $a_{ph}^*(665)$ 与 Gons 算法中提供的值有一定差异,必须进行修订,才能提高叶绿素反演精度;Simis 算法在反演 $a_{ph}(665)$ 和 $a_{ph}(620)$ 时,都有一定误差;利用实测数据分别对 γ 和 δ 参数进行了率定,可以提高 $a_{ph}(665)$ 和 $a_{ph}(620)$ 的反演精度;由于缺乏巢湖藻蓝素实测数据和比吸收系数,因此 Simis 模型中的部分参数没有进行率定,最后反演浓度可能会与实际浓度有一定的差异.

REFERENCES

- [1] MA Rong-Hua, YANG Gui-Shan, DUAN Hong-Tao, et al. China's lakes at present: Number, area and spatial distribution [J]. SCIENTIA SINICA Terra (马荣华, 杨桂山, 段洪涛, 等. 中国湖泊的数量、面积与空间分布. 中国科学: 地球科学), 2010, **40**(9): 1–8.
- [2] Duan H T, Ma R H, Xu X, et al. Two-decade reconstruction of algal blooms in China's Lake Taihu [J]. Environmental Science & Technology, 2009, **43**(10): 3522–3528.
- [3] Duan H T, Zhang Y Z, Zhang B, et al. Estimation of chlorophyll-a concentration and trophic states for inland lakes in Northeast China from Landsat TM data and field spectral measurements [J]. International Journal of Remote Sensing, 2008, **29**(3): 767–786.
- [4] Gons H J. Optical teledetection of chlorophyll a in turbid inland waters [J]. Environ. Sci. Technol., 1999, **33**(7): 1127–1132.
- [5] Simis S, Peters S, Gons H. Remote sensing of the cyanobacterial pigment phycocyanin in turbid inland water [J]. Limnology and Oceanography, 2005, **50**(1): 237–245.
- [6] Gordon H R, Brown O B, Evans R H, et al. A Semianalytic radiance model of ocean color [J]. Journal of Geophysical Research, 1988, **93**(D9): 10909–10924.
- [7] Austin R W. Inherent spectral radiance signatures of the ocean surface [J]. Ocean Color Analysis, SIO Ref, 1974: 74–10.
- [8] Gons H J, Rijkeboer M, Ruddick K G. Effect of a waveband shift on chlorophyll retrieval from MERIS imagery of inland and coastal waters [J]. Journal of Plankton Research, 2005, **27**(1): 125–127.